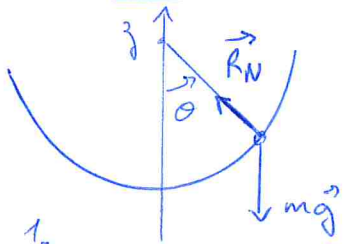


DS n° 5

I Mouvement sur un rail circulaire.

Supt: la perle

Ref: tension considérée galiléen

Forces: \vec{mg} et $\vec{R_N}$

avec $\vec{mg} = \begin{cases} mg \cos \theta \\ -mg \sin \theta \end{cases}$ et $\vec{R_N} = \begin{cases} -||\vec{R_N}|| \\ 0 \end{cases}$

2. Appliquons le PFD à la perle: $m\ddot{\theta} = \vec{mg} + \vec{R_N}$

Selon \vec{e}_θ : $mR\ddot{\theta} = -mg \sin \theta$ car $\vec{a} = \begin{cases} -R\ddot{\theta} \\ R\ddot{\theta} \end{cases}$ pour une traj. circulaire.

D'où $\ddot{\theta} + \frac{g}{R} \sin \theta = 0$

C'est la m^e eq. diff. que le pendule.3. Si $\forall t$, $|\theta| \ll 1$ rad alors $\sin \theta \approx \theta$ (à l'ordre 2 en θ).

D'où $\ddot{\theta} + \frac{g}{R} \theta = 0$: c'est un oscillation harmonique

La solution est $\theta(t) = A \cos \omega_0 t + B \sin \omega_0 t$ avec $\omega_0 = \sqrt{\frac{g}{R}}$

C.I: $\theta(0) = 0 = A$

$\dot{\theta}(0) = \frac{V_0}{R} = \omega_0 B \Rightarrow \theta(t) = \frac{V_0}{R\omega_0} \sin(\omega_0 t)$

4. Il y a isochronisme: la période est indépendante de l'amplitude et vaut

$$T_0 = \frac{2\pi}{\omega_0} = 2\pi \sqrt{\frac{R}{g}} = 1,42 \text{ s}$$

5. Pour que θ reste inférieur à θ_{max} , il faut: $\frac{V_0}{R\omega_0} < \theta_{max}$

D'où $V_0 < R\omega_0 \theta_{max} = 0,96 \text{ m.s}^{-1}$

(↑ θ_{max} en rad pour l'AN)

6. On ajoute la force $\vec{f} = -\lambda \vec{\theta} = -\lambda R \ddot{\theta} \vec{e}_\theta$ et l'équation devient: $mR\ddot{\theta} + \lambda R\ddot{\theta} + mg \sin \theta = 0$.

$\lambda \ll 1 \text{ rad}$

$$\ddot{\theta} + \frac{\lambda}{m} \ddot{\theta} + \frac{g}{R} \theta = 0$$

7. Il s'agit d'un osc. h avec frot⁺ fluide.
Le mot est pseudo périodique si les racines de l'équation caractéristique sont complexes. Il faut donc $\Delta < 0$.

Or $\Delta = \left(\frac{\lambda}{m}\right)^2 - 4\left(\frac{g}{R}\right) \Rightarrow$ il faut $\boxed{\lambda < 2m\sqrt{\frac{g}{R}}}$

8. $\omega_{1,2} = -\frac{\lambda}{2m} \pm i\frac{\sqrt{\Delta}}{2} = -\frac{\lambda}{2m} \pm i\omega_0 \sqrt{1 - \frac{\lambda^2}{4m^2\omega_0^2}}$. $\lambda < 0,44 \text{ N.m}^{-1} \text{ s}^{-1}$

On pose $\Omega = \omega_0 \sqrt{1 - \frac{\lambda^2}{4m^2\omega_0^2}} = \sqrt{\frac{g}{R}} \cdot \sqrt{1 - \frac{\lambda^2 R^2}{4m^2 g^2}} = \Omega$

et $\boxed{C = \frac{2m}{\lambda}}$ $\Rightarrow \theta(t) = e^{-\frac{t}{C}} \cdot (B \cos \Omega t + A \sin \Omega t)$

C.I: $\theta(0) = 0 = B$

$\dot{\theta}(0) = -\frac{B}{C} + \Omega A = V_0/R \Rightarrow \boxed{A = \frac{V_0}{R\Omega}}$

On obtient bien

$\boxed{\theta(t) = A e^{-\frac{t}{C}} \sin(\Omega t)}$

9. $S = \ln \left(\frac{A e^{-\frac{t}{C}} \sin \Omega t}{A e^{-\frac{t+T}{C}} \sin \Omega(t+T)} \right) = \ln e^{\frac{T}{C}} = \frac{T}{C} = \boxed{\frac{\lambda T}{2m} = S}$

On lit $\boxed{T = \frac{2S}{\lambda} = 1,2 \text{ s}}$ et $S = \ln \frac{0,2}{0,1} = \ln 2 = \boxed{0,69 = S}$

D'où $\boxed{\lambda = \frac{2mS}{T} = 0,057 \text{ N.s}^{-1}}$ R: T ≠ T₀ de la q. 4

10. Un peu de géométrie ! On sait que le triangle ACM est rectangle et que l'angle (\widehat{CAM}) vaut $\frac{1}{2}(\frac{\pi}{2} - \theta)$. [(c'est M^{me} Rlin qui me l'a dit :)) donc $\boxed{AM = 2R \cos(\frac{\pi}{4} - \frac{\theta}{2})}$]

11. Le bilan de face fait apparaître $\vec{F} = -k \vec{AM}$ dont l'énergie potentielle associée est $\mathcal{E}_{p,e} = \frac{1}{2} k \cdot AM^2$. (origine en A)

Pour le poids, $\mathcal{E}_{p,p} = mgz$ ^(origine en z=0) avec $z = R \cos(\frac{\pi}{4} - \theta) = R \sin \theta$

D'où $\boxed{\mathcal{E}_{p,tot} = mgR \sin \theta + 2kR^2 \cos^2(\frac{\pi}{4} - \frac{\theta}{2})}$

12. Appliquons le TEM entre le point B et le point Omax :

$$\Delta \mathcal{E}_m = W(\vec{R}_N) \text{ or } \vec{R}_N \perp \vec{d}\Omega \text{ donc } W(\vec{R}_N) = 0$$

$$\text{D'où } \mathcal{E}_m(B) = \mathcal{E}_m(O_{\max}) \text{ avec } \mathcal{E}_m = \frac{1}{2}mv^2 + \mathcal{E}_{pot}$$

$$\frac{1}{2}mv_B^2 + hR^2 = mgR \sin \theta_{\max} + 2hR^2 \cos^2 \left(\frac{\pi}{4} - \frac{\theta_{\max}}{2} \right)$$

$$\text{D'où } h = \frac{\frac{1}{2}mv_B^2 - mgR \sin \theta_{\max}}{2R^2 \cos^2 \left(\frac{\pi}{4} - \frac{\theta_{\max}}{2} \right) - R^2} = 0,87 \text{ N.m}^{-1}$$

13. On vaut que $\mathcal{E}(C) > 0$ d'où le TEM entre B et C :

$$(\theta_B = 0; \theta_C = \frac{\pi}{2})$$

$$\frac{1}{2}mv_B^2 + hR^2 = mgR + 2hR^2 + \mathcal{E}(C)$$

$$\text{D'où : } v_B > \sqrt{2gR + 2\frac{h}{m}R^2} = 4,3 \text{ m.s}^{-1}$$

14. Les positions d'équilibre correspondent à $\frac{d\mathcal{E}_p}{d\theta} = 0$.

$$\text{D'où } mgR \cos \theta + 2hR^2 \cos \left(\frac{\pi}{4} - \frac{\theta}{2} \right) \sin \left(\frac{\pi}{4} - \frac{\theta}{2} \right) = 0$$

$$mg \cos \theta + hR \sin \left(\frac{\pi}{2} - \theta \right) = 0$$

$$\Rightarrow (mg + hR) \cdot \cos \theta = 0 \Rightarrow \boxed{\theta_{eq1} = \frac{\pi}{2} \text{ rad}}$$

$$\boxed{\theta_{eq2} = -\frac{\pi}{2} \text{ rad.}}$$

La position est stable si $\frac{d^2\mathcal{E}_p}{d\theta^2}(\theta_{eq}) > 0$:

$$\text{or } \frac{d^2\mathcal{E}_p}{d\theta^2} = -(mg + hR) \sin \theta \text{ donc}$$

$$\boxed{\frac{d^2\mathcal{E}_p}{d\theta^2}(\theta_{eq1}) = -(mg + hR) < 0} \\ \Rightarrow \theta_{eq1} = \frac{\pi}{2} : \text{ instable.}$$

C'est cohérent avec l'intuition:

la seule point stable est A.

$$\boxed{\frac{d^2\mathcal{E}_p}{d\theta^2}(\theta_{eq2}) = + (mg + hR) > 0} \\ \Rightarrow \theta_{eq2} = -\frac{\pi}{2} : \text{ stable.}$$

15. Autour de $\theta_{eq2} = -\frac{\pi}{2}$ rad, $\mathcal{E}_p(\theta) \approx \mathcal{E}_p(-\frac{\pi}{2}) + \frac{1}{2}(mg + hR) \frac{(\theta - \theta_{eq})^2}{2}$

De plus \mathcal{E}_m se conserve donc $\frac{d\mathcal{E}_m}{dt} = 0$

$$\text{D'où } \frac{1}{2}mR^2 \dot{\theta}^2 + \theta + (mg + hR) \dot{\theta}(\theta - \theta_{eq}) = 0$$

$$\Rightarrow \text{OM: } \boxed{\ddot{\theta} + \frac{mg + hR}{mR^2} \theta = \frac{mg + hR}{mR^2} \theta_{eq}}$$

$$\boxed{T_0 = \frac{2\pi}{\omega_0} = \frac{2\pi \sqrt{mR^2}}{\sqrt{mg + hR}} = 0,72 \text{ s.}}$$

II Le Millennium Bridge.

1. Syst: le pont Ref: tenseur considéré galiléen.

Forces: $m\vec{g}$, $-d\ddot{x}\vec{u}_x$, $\vec{F} = -k(x - l_0)\vec{u}_x$.

A l'équilibre: $\sum \vec{F} = \vec{0}$ donc, en projection selon \vec{u}_x :

$$0 = -mg + 0 - k(x_{eq} - l_0) \quad (\text{car } \ddot{x} = 0 \text{ à l'équilibre})$$

$$\Rightarrow x_{eq} = l_0 - \frac{mg}{k} \quad \text{R: on a bien } x_{eq} < l_0.$$

2. PFD: $m\ddot{x} = -d\ddot{x} - k(x - l_0) - mg$

$$\text{or } 0 = 0 - k(x_{eq} - l_0) - mg$$

$$\text{donc } m\ddot{x} = -d\ddot{x} - k(x - x_{eq})$$

Posons $X = x - x_{eq}$. On a $\dot{X} = \dot{x}$ et $\ddot{X} = \ddot{x}$:

$$\ddot{X} + \frac{d}{m}\dot{X} + \frac{k}{m}X = 0$$

C'est de la forme demandée avec $\omega_0^2 = \frac{k}{m}$ et $2\zeta\omega_0 = \frac{d}{m}$.

$$\Rightarrow \omega_0 = \sqrt{\frac{k}{m}} = \text{pulsation propre}$$

$$\zeta = \frac{d}{2m\omega_0} = \frac{d}{2\sqrt{km}} = \text{facteur lié à l'amortissement}$$

3. Le terme devant \dot{x} est généralement noté $\frac{\omega_0}{Q}$

On voit donc que $\zeta = \frac{1}{2Q}$. (ζ est une notation très utilisée en SI.)

2.a. Définition de \mathcal{E}_p : $d\mathcal{E}_p = -dW = -\vec{F} \cdot d\vec{r}$ $\Leftrightarrow \mathcal{E}_p = -\int \vec{F} \cdot d\vec{r}$
 ou $\vec{F} = -\vec{\text{grad}} \mathcal{E}_p$

\mathcal{E}_p est définie à une constante près [⇒ on peut choisir l'origine].

2.b. \mathcal{E}_p facilite le calcul de $W(\vec{F})$.

$$\text{En effet } W_{AB}(\vec{F}) = -\Delta_{AB} \mathcal{E}_p = \mathcal{E}_p(A) - \mathcal{E}_p(B).$$

2.c. $\mathcal{E}_p(m\vec{g}) = mgx + C$ or $\mathcal{E}_p(x=0) = 0$ donc $C = 0$

$$\mathcal{E}_p(m\vec{g}) = mgx$$

4. L'équation devient: $\ddot{X} + \left(2\zeta\omega_0 - \frac{\beta}{m}\right)\dot{X} + \omega_0^2 X = 0$
 Si $2\zeta\omega_0 - \frac{\beta}{m} < 0$, il y a amplification des oscillations (au lieu de l'amortissement vu précédemment).
 [la partie réelle des racines de l'EC devient positive!]

5. En ajoutant \vec{F} au bilan de forces, le PFD selon \ddot{x} donne:

$$m\ddot{X} + \alpha\dot{X} + \beta X = -F_0 - F_1 \cos(2\pi ft)$$

$$\text{Or } Y = X + \frac{F_0}{m\omega_0^2} = X + \frac{F_0}{\beta}, \quad \dot{Y} = \dot{X} \text{ et } \ddot{Y} = \ddot{X}$$

$$\text{D'où } m\ddot{Y} + \alpha\dot{Y} + \beta\left(X + \frac{F_0}{\beta}\right) = -F_1 \cos(2\pi ft)$$

$$\text{Soit } \underbrace{\ddot{Y}}_{2\zeta\omega_0} + \underbrace{\frac{\alpha}{m}\dot{Y}}_{\omega_0^2} + \underbrace{\frac{\beta}{m}Y}_{-F_1/m} = -F_1 \cos(2\pi ft)$$

6. En notations complexes, on a: $Y(-\omega^2) + j\omega 2\zeta\omega_0 Y + \omega_0^2 Y = -\frac{F_1}{m}$.

$$\text{Donc } \boxed{\frac{Y}{E} = \frac{-1}{\omega_0^2 - \omega^2 + 2j\omega\zeta\omega_0}}. \quad \text{C'est un } \underbrace{\text{passe bas}}_{\text{du } 2^{\text{ème}} \text{ ordre.}}$$

7. Une résonance peut se produire si $|H|$ passe par un maximum. Or $|H| = \frac{1}{\sqrt{(\omega_0^2 - \omega^2)^2 + 4\omega^2\zeta^2\omega_0^2}}$.

$$\begin{aligned} \frac{d|H|}{d\omega} = 0 &\Leftrightarrow 2(\omega_0^2 - \omega^2)(-j\omega) + 4\omega\zeta^2\omega_0^2 = 0 \\ &\Leftrightarrow \omega^2 = \omega_0^2(1 - 2\zeta^2). \end{aligned}$$

Il n'existe de solution que si $2\zeta^2 < 1$ donc $\boxed{\zeta < \frac{1}{\sqrt{2}}}$
 [Cela correspond bien au cas où $Q = \frac{1}{2\zeta} > \frac{1}{\sqrt{2}}$]

$$\text{On a alors } \boxed{\omega_n = \omega_0 \sqrt{1 - 2\zeta^2}}$$

Dans le cas où $\zeta \ll 1$ (donc $Q \gg 1$), on a $\omega_n \approx \omega_0$ et

$$\boxed{|H(\omega_n)| \approx \frac{1}{2\zeta\omega_0}}$$

8. On lit $\omega_0 = 12 \text{ rad s}^{-1}$ et $20 \log \frac{1}{2\zeta} = 3 \text{ dB} \Rightarrow \boxed{\zeta = 0,18}$ [on a bien $\zeta \ll 1$].

* On remarque que H n'est pas sans dimension ici. $[H] = T^2 !$

9. Si l'excitation a une fréquence proche de celle de résonance, il peut (si $\zeta \ll 1$ ou $Q \gg 1$) y avoir une forte amplification et des oscillations de grande amplitude \Rightarrow inconfort + risque de rupture.

10. Les fréquences les + importantes sont : $f_1 = 2 \text{ Hz}$ et ses harmoniques à $f_n = 2n \text{ Hz}$ avec $n \in \mathbb{N}^*$.

Effectivement on pose son pied par terre chaque demi seconde en moyenne $\Rightarrow T_1 = 0,5 \text{ s} = \frac{1}{f_0}$.

La présence des harmoniques provient de la forme non sinusoidale de l'excitation.

[R: un pendule de longueur 1m a une période de $T = 2 \text{ s}$ (On dit qu'il bat la seconde car il est en $\pm \Theta_{\text{max}}$ à chaque seconde).

La jambe peut donc être assimilée, dans la marche d'un piéton, à un pendule.

L'ensemble des 2 jambes conduit à une force sur le sol de période 0,5 s. C'est cohérent.]

$$11. \omega_0 = 12 \text{ rad s}^{-1} \Rightarrow f_0 = 1,9 \text{ Hz.} \approx f_1$$

Les piétons provoquent une excitation à une fréquence proche de la fréquence propre du pont: il y a amplification du déplacement du pont \Rightarrow oscillations, forte, et désagréables pour les piétons. (=résonance)

L'amortissement est un 2nd oscillateur couplé au pont.

Il apparaît alors 2 pulsations propres mais elles se sont éloignées de f_0 ($2,4 \text{ Hz}$ et $1,3 \text{ Hz}$) et il y a une antirésonance en f_0 ($|H|$ passe par un minimum en f_0) \Rightarrow il n'y a plus d'amplification de l'excitation.

III Oscillation de relaxation.

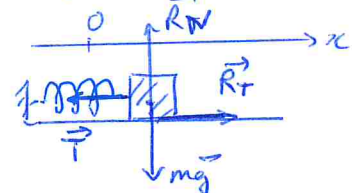
1. Loi de Coulomb: - si il y a glissement alors $\|\vec{R}_T\| = \lambda \|\vec{R}_N\|$
 - l'immobilité n'est possible que si $\|\vec{R}_T\| < \lambda \|\vec{R}_N\|$.

2. Système: L'objet M. Réf: teneur considérée galiléen

Facès: $m\vec{g}$, \vec{R}_N , $\vec{T} = -k_x \vec{e}_x$ et \vec{R}_T .

On a $\vec{v} = \dot{x} \vec{e}_x$ donc $x = v_0 t + c_1$

or $x(0) = 0 = c_1$ donc $c_1 = 0$:



$$\boxed{x(t) = v_0 t} \quad \text{phase 1}$$

Le PFD donne $\vec{m}\ddot{x} = \vec{0} = \vec{mg} + \vec{R}_N + \vec{R}_T - k_x \vec{e}_x$

Selon \vec{e}_y : $0 = \|\vec{R}_N\| - mg$

Selon \vec{e}_x : $0 = \|\vec{R}_T\| - k_x$ d'où

$$\begin{aligned} \|\vec{R}_T\| &= +k_x \\ &= +k_x v_0 t \end{aligned}$$

L'immobilité n'est possible que si $\|\vec{R}_T\| < \lambda \|\vec{R}_N\|$

Donc il faut $k_x v_0 t < \lambda mg$

$$\boxed{t_1 = \frac{\lambda mg}{k_x v_0}}$$

R: on peut commencer l'influence des paramètres!

3. Le système est le même, mais cette fois $\|\vec{R}_T\| = \lambda \|\vec{R}_N\| = \lambda mg$ et $\ddot{x} \neq \text{cte}$: $m\ddot{x} = -k_x x + \lambda mg$ (Attention à l'orientation de \vec{R}_T)

$$\boxed{\ddot{x} + \frac{k}{m} x = \lambda g}$$

4. On introduit $t' = t - t_1$.

On a $x(t'=0) = v_0 t_1 = \frac{\lambda mg}{k_x}$ et $\dot{x}(t'=0) = v_0$.

La solution est $x = \frac{\lambda mg}{k_x} + A \cos \omega_0 t' + B \sin \omega_0 t'$

avec $\frac{\lambda mg}{k_x} = \frac{\lambda mg}{k_x} + A$ et $v_0 = \omega_0 B$

$$\boxed{\omega_0^2 = \frac{k}{m}}$$

D'où $A = 0$ et

$$\boxed{x(t') = \frac{\lambda mg}{k_x} + \frac{v_0}{\omega_0} \sin \omega_0 t'}$$

5. A t_2' on a: $\ddot{x}(t_2') = v_0 = v_0 \cos(\omega_0 t_2')$

D'où $\omega_0 t_2' = 2\pi \Rightarrow t_2' = \frac{2\pi}{\omega_0}$ et $t_2 = t_1 + \frac{2\pi}{\omega_0}$

6. $x(t_2) = \frac{\lambda mg}{k} = x(t_1)$

Or, en ce point, $\|\vec{R_T}\| = 2\|\vec{R_N}\|$ et l'objet ne reste donc pas immobile : il repart pour une oscillation complète.

7. On a un oscillateur d'amplitude constante en présence de frottement. En effet lors d'une oscillation la force de frottement $\vec{R_T}$ fournit un travail négatif tant que $\dot{x} < 0$ mais un travail positif tant que $\dot{x} > 0$ car $\vec{R_T}$ ne change pas de signe ici ($\dot{x} \leq v_{\text{top}}$ donc le glissement est toujours dans le même sens!). Sur une oscillation complète, on a bien $\mathcal{W}(\vec{R_T}) = 0$.